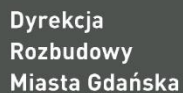




Załącznik 3T

Schematy kart, metryk, itp.

1	METRYKA OTWORU WIERTNICZEGO	157
2	METRYKA SONDOWANIA DPL/DPH/DPSH/ITB-ZW	158
3	METRYKA SONDOWANIA DYLATOMETREM DMT	159
4	METRYKA BADANIA MODUŁU ODKSZTAŁCENIA GRUNTU PŁYTĄ DYNAMICZNĄ.....	160
5	OZNACZENIE MODUŁU ODKSZTAŁCENIA APARATEM VSS.....	161
6	BADANIE W APARACIE BEZPOŚREDNIEGO ŚCINANIA	162
7	ZESTAWIENIE WYNIKÓW BADAŃ LABORATORYJNYCH.....	164

[illegible]



2 Metryka sondowania DPL/DPH/DPSH/ITB-ZW

METRYKA SONDOWANIA DPL/DPH/DPSH/ITB-ZW										
					Otwory nr: <input type="text"/>					
NAZWA TEMATU:					DATA WYKONANIA: / /					
PODPIS:					UWAGI:					
0,1										
0,2										
0,3										
0,4										
0,5										
0,6										
0,7										
0,8										
0,9										
1,0										
1,1										
1,2										
1,3										
1,4										
1,5										
1,6										
1,7										
1,8										
1,9										
2,0										
2,1										
2,2										
2,3										
2,4										
2,5										
2,6										
2,7										
2,8										
2,9										
3,0										
3,1										
3,2										
3,3										
3,4										
3,5										
3,6										
3,7										
3,8										
3,9										
4,0										
4,1										
4,2										
4,3										
4,4										
4,5										
4,6										
4,7										
4,8										
4,9										
5,0										



3 Metryka sondowania dylatometrem DMT

FIRM (max characters no.=32)		BLADE No.	ΔA (bar) 0.05-0.20	ΔB (bar) 0.20-0.60	Δmm ⁽¹⁾	Membrane Aspect ⁽²⁾
CUSTOMER ⁽³²⁾		Start				
JOB ⁽³²⁾		$Z_E =$ ⁽³⁾				
SITE ⁽³²⁾		$Z_E =$				
REMARK ⁽³²⁾		$Z_E =$				
TEST NAME ⁽¹²⁾		DATE ⁽²⁰⁾				
Absol. elev.(optional) _____ m		Z_{water} (necess.) _____ m or <input type="checkbox"/> > Z_{final}				
Zero of gauge _____ bar		γ_{top} _____ t/m ³ (default 1.75)				
<input type="checkbox"/> Rig <input type="checkbox"/> Penetrometer		TEST STOPPED BECAUSE				
Diameter of rod behind the blade _____		REFUSAL MEMBRANE \dagger $Z = Z_{prefixed}$				
		<input type="checkbox"/> OPERATOR				

0	A	B	C	6	12	18	24
2				2	2	2	2
4				4	4	4	4
6				6	6	6	6
8				8	8	8	8
1				7	13	19	25
2				2	2	2	2
4				4	4	4	4
6				6	6	6	6
8				8	8	8	8
2				8	14	20	26
2				2	2	2	2
4				4	4	4	4
6				6	6	6	6
8				8	8	8	8
3				9	15	21	27
2				2	2	2	2
4				4	4	4	4
6				6	6	6	6
8				8	8	8	8
4				10	16	22	28
2				2	2	2	2
4				4	4	4	4
6				6	6	6	6
8				8	8	8	8
5				11	17	23	29
2				2	2	2	2
4				4	4	4	4
6				6	6	6	6
8				8	8	8	8



4 Metryka badania modułu odkształcenia gruntu płytą dynamiczną

	GRUNTY		ARKUSZ NR
	Badanie modułu odkształcenia gruntu płytą dynamiczną		
Projekt	NAZWA		
Lokalizacja działki roboczej		odcinek	
Warstwa			
Data poboru próbek		materiał	
Pozycja ST			

	Str. lewa E_{VD}	Str. prawa E_{VD}		Str. lewa E_{VD}	Str. prawa E_{VD}
km	MPa	MPa	km	MPa	MPa



5 Oznaczenie modułu odkształcenia aparatem VSS

OZNACZENIE MODUŁU ODKSZTAŁCENIA APARATEM VSS						
PLATE BEARING TEST						
Rodzaj podłoża:			Nr punktu badawczego:		Temat:	
Rzędna terenu: m n.p.m.					km: warstwa:	
obciążenie [MPa]	Odczyty na czujnikach [0,01mm]				$\Delta s = s_{0,25} - s_{0,15}$ [mm]	Średnica płyty: D=300 mm
	czujnik 1	czujnik 2	czujnik 3	średnia		
0,00					$E_v = 0,75 \pi D \Delta p / \Delta s$ [MPa]	$E_{v1} = 225 \frac{0,10}{\Delta s} =$ MPa
0,05						
0,10						
0,15						
0,20						
0,25						
0,30						
0,35						
0,25						
0,15						
0,05						
0,00						
0,05						
0,10					$E_{v2} = 225 \frac{0,10}{\Delta s} =$ MPa	
0,15						
0,20						
0,25						
0,30						
0,35						
0,25						
0,15						
0,05						
0,00						
Obciążenie ruchem:			Stan pogody, temp. pow:			
Data badania:	Badanie wykonał:		Badanie opracował:		Uwagi: Płyta D=30 cm	



6 Badanie w aparacie bezpośredniego ścinania

		Wytrzymałość gruntu na ścinanie	
		Nr zlecenia	
		Temat:	
		Nr otworu	
		Głębokość [m]:	
		Nr próby	
Rodzaj gruntu		Spójność c [kPa]	0,00
Barwa gruntu	-	Kąt tarcia wewnętrznego φ	0,00
Stan gruntu	-	Wytrzymałość na ścinanie τ_f [kPa] dla naprężenia normalnego równego:	
Wilgotność [%]	-	$\sigma_n =$ kPa	0,00
		$\sigma_n =$ kPa	0,00
		$\sigma_n =$ kPa	0,00
<p>The graph shows a linear relationship between maximum shear stress (τ_f) and normal stress (σ_n). The y-axis is labeled 'Maksymalne naprężenie ścinające [kPa]' and ranges from 0,00 to 200,00. The x-axis is labeled 'Naprężenie normalne σ [kPa]' and ranges from 0,00 to 300,00. Three data points are plotted at approximately (50, 0), (110, 0), and (220, 0), all lying on the x-axis, indicating zero cohesion.</p>			
Uwagi:			
Data:		Wykonał:	Zatwierdził:



Analiza sitowa

ANALIZA SITOWA																																																																															
Nr zlecenia																																																																															
Norma	PN-B-88/04481																																																																														
Projekt																																																																															
Próbka																																																																															
Głębokość [m]																																																																															
Nr próby																																																																															
<table border="1"><thead><tr><th>Wymiar oczek [mm]</th><th colspan="2">Pozostaje na sicie</th><th>Rzędne [%]</th></tr><tr><th></th><th>[g]</th><th>[%]</th><th>[%]</th></tr></thead><tbody><tr><td>6,00</td><td>#N/D</td><td>#N/D</td><td>#N/D</td></tr><tr><td>4,00</td><td>#N/D</td><td>#N/D</td><td>#N/D</td></tr><tr><td>2,00</td><td>#N/D</td><td>#N/D</td><td>#N/D</td></tr><tr><td>1,00</td><td>#N/D</td><td>#N/D</td><td>#N/D</td></tr><tr><td>0,50</td><td>#N/D</td><td>#N/D</td><td>#N/D</td></tr><tr><td>0,25</td><td>#N/D</td><td>#N/D</td><td>#N/D</td></tr><tr><td>0,10</td><td>#N/D</td><td>#N/D</td><td>#N/D</td></tr><tr><td>0,063</td><td>#N/D</td><td>#N/D</td><td>#N/D</td></tr><tr><td>Razem</td><td>#N/D</td><td>#N/D</td><td></td></tr><tr><td colspan="2">d₆₀</td><td colspan="2">#N/D</td></tr><tr><td colspan="2">d₁₀</td><td colspan="2">#N/D</td></tr></tbody></table> <table border="1"><thead><tr><th>Rodzaj gruntu</th><th>#N/D</th><th>#N/D</th></tr></thead><tbody><tr><td>Wskaźnik uziarnienia U</td><td>-</td><td>#N/D</td></tr><tr><td>k₁₀ USBSC</td><td>m/d</td><td>#N/D</td></tr><tr><td>k₁₀ USBSC</td><td>m/s</td><td>#N/D</td></tr><tr><td>Cl (f_i) *</td><td>%</td><td>#N/D</td></tr><tr><td>Si (f_π) *</td><td>%</td><td>#N/D</td></tr><tr><td>Sa (f_p)</td><td>%</td><td>#N/D</td></tr><tr><td>Gr (f_z)</td><td>%</td><td>#N/D</td></tr></tbody></table> <p>* wartości frakcji ilastej i pyłastej zostały rozdzielone matematycznie przy pomocy interpolacji liniowej z uwzględnieniem półlogarytmicznego charakteru wykresu krzywej uziarnienia</p>				Wymiar oczek [mm]	Pozostaje na sicie		Rzędne [%]		[g]	[%]	[%]	6,00	#N/D	#N/D	#N/D	4,00	#N/D	#N/D	#N/D	2,00	#N/D	#N/D	#N/D	1,00	#N/D	#N/D	#N/D	0,50	#N/D	#N/D	#N/D	0,25	#N/D	#N/D	#N/D	0,10	#N/D	#N/D	#N/D	0,063	#N/D	#N/D	#N/D	Razem	#N/D	#N/D		d ₆₀		#N/D		d ₁₀		#N/D		Rodzaj gruntu	#N/D	#N/D	Wskaźnik uziarnienia U	-	#N/D	k ₁₀ USBSC	m/d	#N/D	k ₁₀ USBSC	m/s	#N/D	Cl (f _i) *	%	#N/D	Si (f _π) *	%	#N/D	Sa (f _p)	%	#N/D	Gr (f _z)	%	#N/D
Wymiar oczek [mm]	Pozostaje na sicie		Rzędne [%]																																																																												
	[g]	[%]	[%]																																																																												
6,00	#N/D	#N/D	#N/D																																																																												
4,00	#N/D	#N/D	#N/D																																																																												
2,00	#N/D	#N/D	#N/D																																																																												
1,00	#N/D	#N/D	#N/D																																																																												
0,50	#N/D	#N/D	#N/D																																																																												
0,25	#N/D	#N/D	#N/D																																																																												
0,10	#N/D	#N/D	#N/D																																																																												
0,063	#N/D	#N/D	#N/D																																																																												
Razem	#N/D	#N/D																																																																													
d ₆₀		#N/D																																																																													
d ₁₀		#N/D																																																																													
Rodzaj gruntu	#N/D	#N/D																																																																													
Wskaźnik uziarnienia U	-	#N/D																																																																													
k ₁₀ USBSC	m/d	#N/D																																																																													
k ₁₀ USBSC	m/s	#N/D																																																																													
Cl (f _i) *	%	#N/D																																																																													
Si (f _π) *	%	#N/D																																																																													
Sa (f _p)	%	#N/D																																																																													
Gr (f _z)	%	#N/D																																																																													
Data badania:	Badanie wykonał:	Zatwierdził:																																																																													

